

京都大学 工学部 学 有田一彦
 京都大学 工学部 正 宗宮 功
 京都大学 工学部 正 沢村清史

われわれは活性汚泥処理プラントの前部に嫌気ゾーンを設けることによって、循環式フンスラッジ方式での窒素の高率除去を行なうための調査研究を継続しており、かなりの成果をおさめている。本研究は、その処理プラントにおけるリンの挙動を形態変化に着目して調査検討を加えたものである。

1. 実験装置および実験方法

実験は京都大学工学部衛生工学科教室水質汚濁制御シミュレーション設備内の活性汚泥パイロットプラントを用い、下水は隣接する大津市終末処理場から導入した。曝気槽流入水（以下、流入水）は約1m³/hr、返送汚泥は約2m³/hrで運転し、実験はRun 1からRun 3まで行った。ただし、Run 3においては、脱窒槽もairを吹き込み、全槽曝気とした。サンプリングは、流入水、脱窒槽流出水、曝気槽流出水、終端流出水（流出水）、返送汚泥の5種であり、8時、12時、16時、20時、24時に採水したものと等量ブロックコンポジットしたものである。なお、解析対象であるリンの分析については、図-1に示すような手順を経て、表-1のように分類した。以下、使用するリンについての用語は、この分析、分類にしたがう。

2. 実験結果とその考察

(2-1) 除去率の検討 各Runにおける流入、流出りん濃度、リン除去率を形態別に示す。(表-2) 併せて曝気槽における平均MLSS濃度、DO濃度も示す。従来、活性汚泥法におけるリンの除去率は、30%前後といわれているが、この結果はそれをはるかに上回っている。Run 3の除去率が若干低めであるが、これは、Run 3における全リンの流入濃度が低いことに起因する。したがってアロセスの違いには関係なく、8~9割の高除去率を示しているといえよう。海外の文献によれば、このような高除去率を示す処理場をかなりあり、操作因子の設定等、種々の検討がなされているが、未だによくわからっていない。

流入水中におけるリンの形態分布を表-3に示す。これによると各Runにおいて溶解性部分と懸濁性部分の比率は、ほぼ同じであるが、溶解性部分の中味は、オルトPが多かったり、ボリPが多くなり、その内容が異なっているのがわかる。

図-1. リンの分析方法

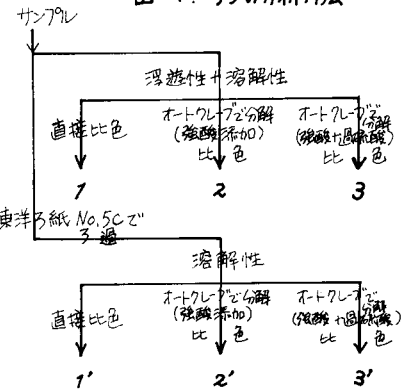


表-1 リンの分類

| | Total | 溶解性 S. | 溶解性 P. |
|--------|-------|--------|-----------|
| 全リン酸 | 3 | 3' | 3-3' |
| オルトリン酸 | 1 | 1' | 1-1' |
| ボリリン酸 | 2-1 | 2'-1' | 2-1-2'+1' |
| 有機リン酸 | 3-2 | 3'-2' | 3-2-3+2' |

表-2 リンの流入流出濃度・リン除去率 (単位: mg/l)

| | | 流入水中の リン濃度 | | 流出水中の リン濃度 | | リン除去率 (負荷量計算) | バッケン槽 MLSS 濃度 | バッケン槽 DO 濃度 |
|------------------------------|---------|---------------|--------|---------------|-------|------------------|------------------|----------------|
| | | S.オルトP | P.オルトP | S.ボリP | P.ボリP | | | |
| Run 1 8/4~8/10 | S.オルトP | 2.08 | 1.80 | 0.14 | 0.13 | 93.7% | 23.69 (mg/l) | 2.86 (%) |
| | S.ボリP | 0.34 | 0.66 | 0.20 | 0.15 | 68.2% | | |
| | S.有機P | 0.36 | 1.33 | 0.12 | 0.09 | 98.0% | | |
| | Total P | 6.57 | | 0.83 | | 88.4% | | |
| Run 2 9/2~9/8 | S.オルトP | 2.13 | | 0.10 | | | 42.76 (mg/l) | 1.67 (%) |
| | S.ボリP | 0.27 | | 0.08 | | | | |
| | S.有機P | 0.03 | | 0.02 | | | | |
| | Total P | 5.62 | | 0.52 | | 91.3% | | |
| Run 3 10/18~10/22 全槽曝気 | S.オルトP | 1.45 | 0.45 | 0.39 | 0.50 | 53.8% | 42.22 (mg/l) | 4.59 (%) |
| | S.ボリP | 0.10 | 2.06 | 0.05 | 0.01 | 97.5% | | |
| | S.有機P | 0.18 | 0.47 | 0.05 | 0.06 | 92.6% | | |
| | Total P | 4.71 | | 1.00 | | 78.4% | | |

リンの除去は、この流入リンの溶解性部分が摂取や吸着等により汚泥部分へ移行したり、溶解性部分が付着等により汚泥部分へ移行するという形でなさる。したがってこれらの挙動を検討する必要がある。

(2-2) 溶解性リンの挙動

溶解性リンの濃度変化について Run 2, 3 のデータを図-2 に示す。この図より溶解性リンは曝気槽前部に伴い、明らかにその濃度の減少がみられる。さらに、從来いかれてきたように低DO下において、リンの溶出があるという事実を確認された。(Run 2) 脱窒槽の理論滞留時間が 34 分と短時間であるにもかかわらず、Run 2 の結果によれば、ポリ P、オルト P の溶出がみられる。しかしながら、その後の曝気槽で、その溶出したリンが、全槽曝気して Run 3 と同程度に、汚泥部分へ移行することもわかった。

このことは、溶解性リンの除去に関しては、曝気槽前部に低DO 状態の脱窒槽を設けても、全槽曝気の場合と大差ないことを示している。さらに、この結果は、脱窒アシントの設計において、リン除去の観点より、その脱窒槽の位置決定に重要な示唆を与えているといえよう。

(2-3) 溶遊性リンの挙動

下水中の溶遊性リンの付着や溶解性リンの除去の結果を示す活性汚泥中のリンの挙動を、溶遊性 COD 当りの溶遊性リン量より検討してみる。これによると、図-3 のように、溶遊性有機リンは溶遊性 COD 中に一定の比率で含まれていいことがわかった。核酸(DNA+RNA) 当りにつても同じことがいえた。これらは Helmersen より汚泥の組成 $C_{18}H_{30}O_5N_{17}P$ の比率とほぼ合致する。また、各形態について、この比を追つた 1 例として Run 3 の場合を図-4 に示す。これによると、オルト P とポリ P との間で形態変化によるやりとりが行はれている可能性があることを示している。(2-1) でみたように、みかけ上、除去率にはさほど違いはないが、Run 3 の顯著な形態変化のように、槽内部でリンの組成変化があることがわかった。

3. おわりに

循環型ワニスラッジ方式で操作されている活性汚泥改良型の処理プラントで、リン除去についての結果が得られた。さらにはお、このリン除去機構の定量的把握および操作条件の設定等々について、処理プロセス中の溶解性リン、溶遊性リンの組成変化を把握しつつ検討する必要があり、今後の課題である。最後に、実験協力をしていただいた柏谷明博氏(現、厚生省)に感謝いたします。

(参考文献) 1) たとえば、Vacker らの "Phosphate Removal through Municipal Wastewater Treatment at San Antonio, Texas" J. WPCF Vol. 39 No. 5 (1967) 等 2) たとえば、Shapiro らの "Anoxically Induced Release of Phosphate in Wastewater Treatment" J. WPCF Vol. 39 No. 11 (1967) 等

表-3 流入水中的リンの比率

| Total P = 100 | 溶解性 | 溶遊性 |
|---------------|-------|------|
| Run 1 | オルト P | 31.9 |
| | ポリ P | 5.2 |
| | 有機 P | 5.6 |
| Run 2 | オルト P | 37.4 |
| | ポリ P | 4.4 |
| | 有機 P | 0.6 |
| Run 3 | オルト P | 30.5 |
| | ポリ P | 2.1 |
| | 有機 P | 3.8 |

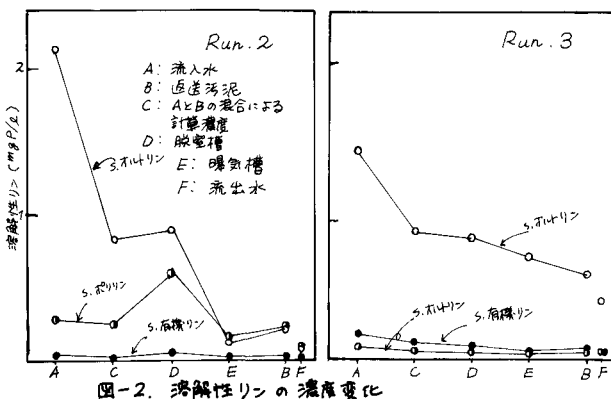


図-2. 溶解性リンの濃度変化

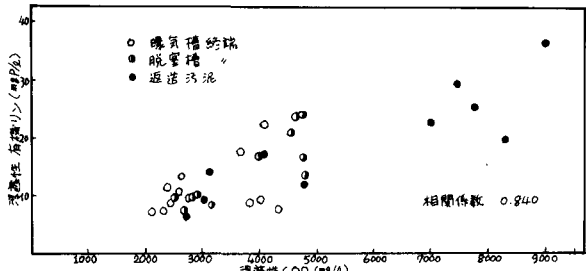


図-3. 溶遊性 COD 当りの溶遊性有機リン

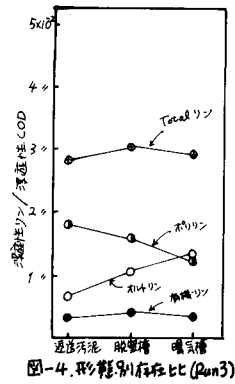


図-4. 形態別存在比率(Run 3)